

Materialwissenschaften

Prof. Peter Müller-Buschbaum, TUM School of Natural Sciences

Kapitel 6: Viskoelastizität

6.1 Einleitung

6.2 Charakterisierung

6.3 Modellierung

6.4 Periodische Experimente

6.5 Rheometrie

6.6 Zusammenfassung

J. P. Mercier, G. Zambelli, W. Kurz: Introduction to Material Science.
Elsevier, 2002. Kapitel 6.4.

W. D. Callister, D.G. Rethwisch: Materialwissenschaften und Werkstofftechnik.
Wiley-VCH. Kapitel 15.4.

6.1 Einleitung

temperaturabhängiges Verhalten vieler Materialien,
z.B. von Polymeren, Biopolymeren (Sehnen),
Metallen bei hohen Temperaturen:

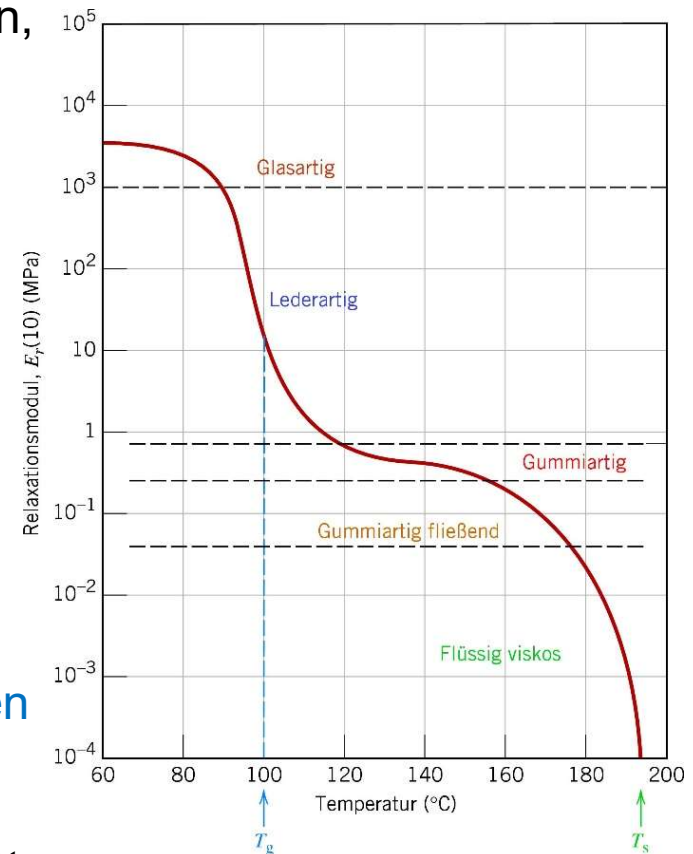
- bei niedrigen Temperaturen glasförmig
- bei mittleren Temperaturen gummiartig
- bei hohen Temperaturen wie eine viskose Flüssigkeit

→ “viskoelastisches Verhalten”

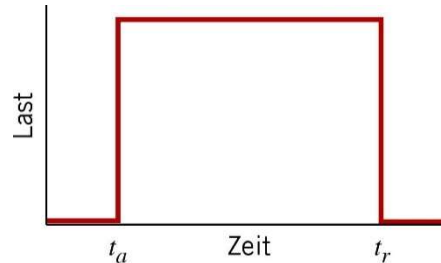
rein viskoses Verhalten: Newtonsche Flüssigkeiten

Zusammenhang zwischen Spannung σ

und Verformung ε : $\sigma = \eta \frac{d\varepsilon}{dt}$ mit Viskosität η



6.2 Charakterisierung



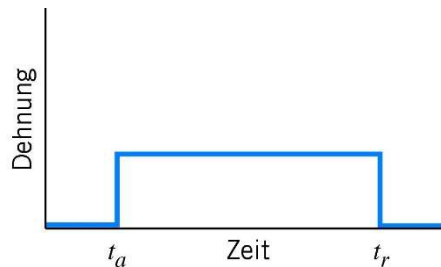
Kriechexperiment:

stufenartiges Anlegen einer Spannung σ im Zeitintervall $[t_a, t_r]$

definiere zeitabhängiges Relaxationsmodul:

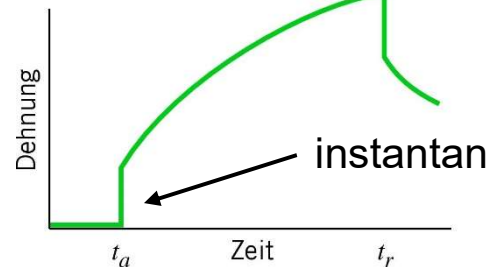
resultierendes Dehnungsverhalten:

$$E_r(t) = \frac{\sigma(t)}{\varepsilon(t)}$$



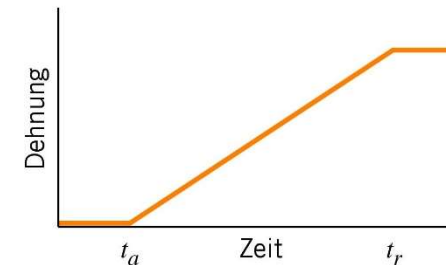
elastisch:

- instantane Dehnung
- vollständig reversibel



viskoelastisch:

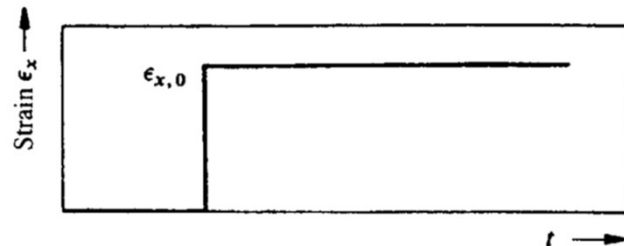
- verzögerte Dehnung
- nicht vollständig reversibel



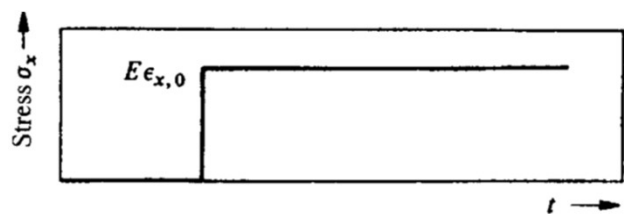
viskos:

- verzögerte Dehnung
- nicht reversibel

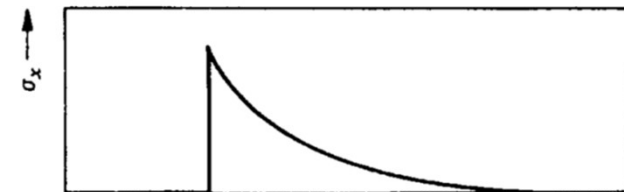
Relaxationsexperiment



stufenartige Verformung $\epsilon(t) = \epsilon_{x,0} u(t)$
und **Messung der Spannung**, die nötig ist,
diese aufrecht zu erhalten



elastisches Material: $\sigma(t) = E \epsilon_{x,0} u(t)$
konstante Spannung nötig



viskoelastisches Material:
plötzlich ansteigende,
dann langsam abfallende Spannung nötig



viskose Flüssigkeit: $\sigma(t) = \eta \epsilon_{x,0} \frac{du}{dt} = \eta \epsilon_{x,0} \delta(t)$
Fließen, d.h. Spannung sinkt instantan auf null

Gründe für viskoelastisches Verhalten

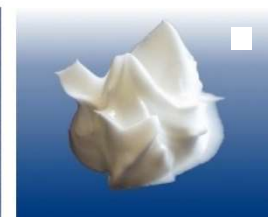
zahlreiche Relaxationsprozesse
in einem breiten Zeitbereich,
z.B. in verschlauften **Polymerschmelzen**



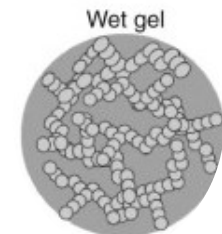
in komplexen Flüssigkeiten:
Aggregatbildung, Quellen von Partikeln,
schwache Bindungen



Handcreme



Shampoo

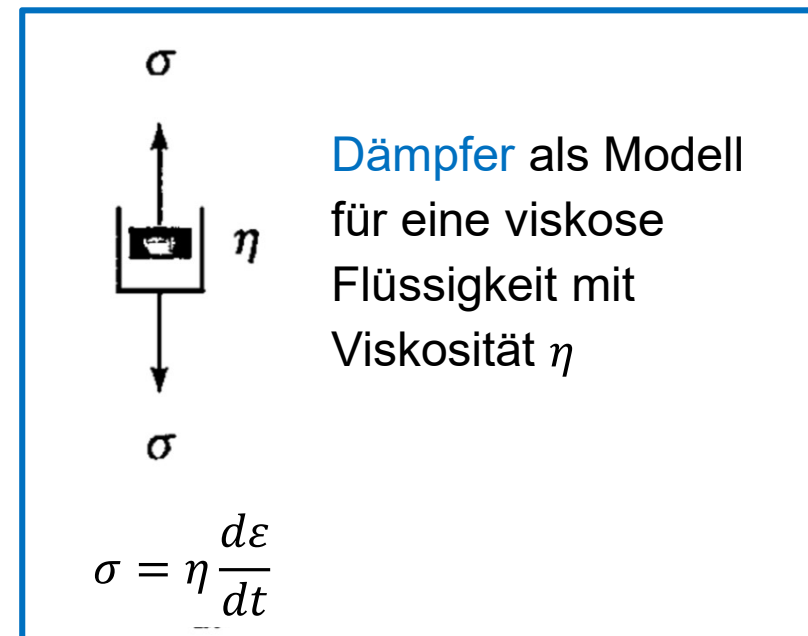
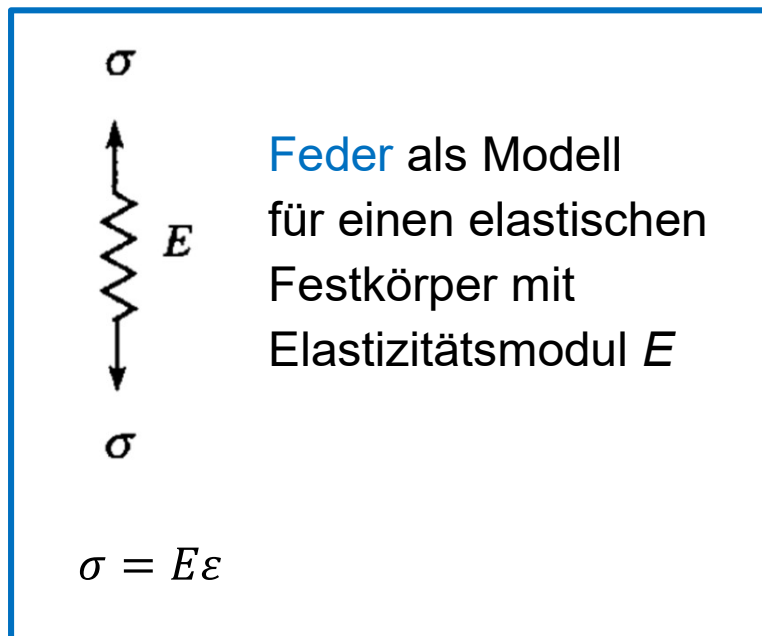


in Metallen bei $T > 0,5 T_m$ und in Keramiken:
thermische **Bewegung** signifikant

J. W. Goodwin, R. W. Hughes, Rheology for Chemists—an Introduction. RSC Cambridge 2000.
wiki.anton-paar.com. S. Smart et al., *Handbook of Membrane Reactors* **2013**, 1, 298-336.

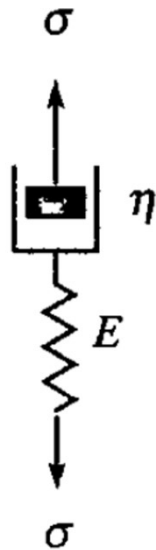
6.3 Modellierung

Verwendung mechanischer Modelle zur Beschreibung des Verhaltens im Kriech- und im Relaxationsexperiment



Kombination dieser Elemente zur Beschreibung viskoelastischer Materialien

Maxwell-Modell



Feder und Dämpfer in Serienschaltung:

Spannung konstant $\sigma = \sigma_2 = \sigma_1$

Dehnung ist Summe der beiden Dehnungen $\varepsilon = \varepsilon_1 + \varepsilon_2$

- Kurzzeitverhalten: elastisch
- Langzeitverhalten: viskos

→ viskoelastische Flüssigkeit

Differentialgleichung

(Addition der Auslenkungen bzw. ihrer Ableitungen)

$$\frac{d\varepsilon}{dt} = \frac{1}{E} \frac{d\sigma}{dt} + \frac{\sigma}{\eta}$$

Maxwell-Modell

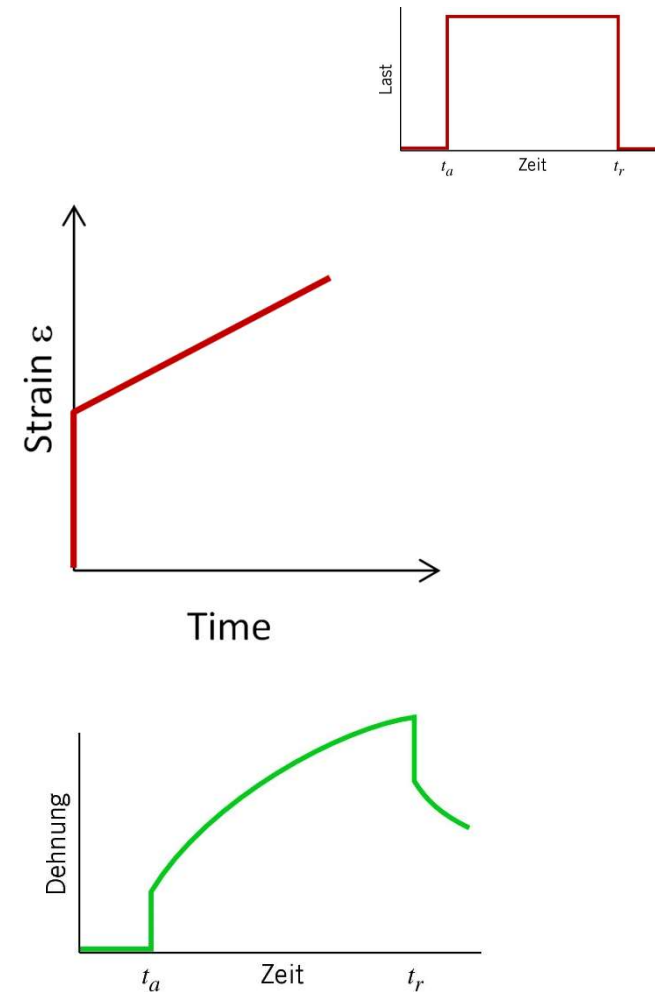
Beispiel: Dehnung $\varepsilon(t)$ nach Anlegen einer konstanten Spannung

Lösung der Differentialgleichung

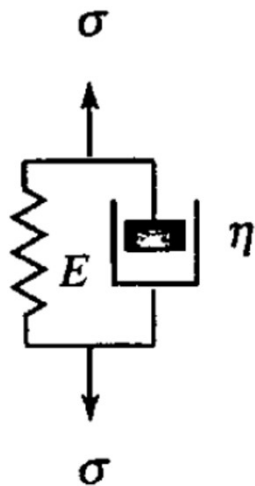
$$\frac{d\varepsilon}{dt} = \frac{1}{E} \frac{d\sigma}{dt} + \frac{\sigma}{\eta}$$

für den Fall $\frac{d\sigma}{dt} = 0$, d.h. konstante Spannung

- sprunghafter Anstieg der Dehnung, danach dauerhaftes Fließen
- Kurve nicht gut reproduziert: allmählicher Anstieg fehlt



Voigt-Kelvin-Modell



Feder und Dämpfer in Parallelschaltung:

Dehnung ist konstant $\varepsilon = \varepsilon_1 = \varepsilon_2$

Spannung ist Summe der beiden Spannungen $\sigma = \sigma_1 + \sigma_2$

- Kurzzeitverhalten: viskos
- Langzeitverhalten: elastisch

→ viskoelastischer Festkörper

$$\sigma = E\varepsilon + \eta \frac{d\varepsilon}{dt}$$

Voigt-Kelvin-Modell

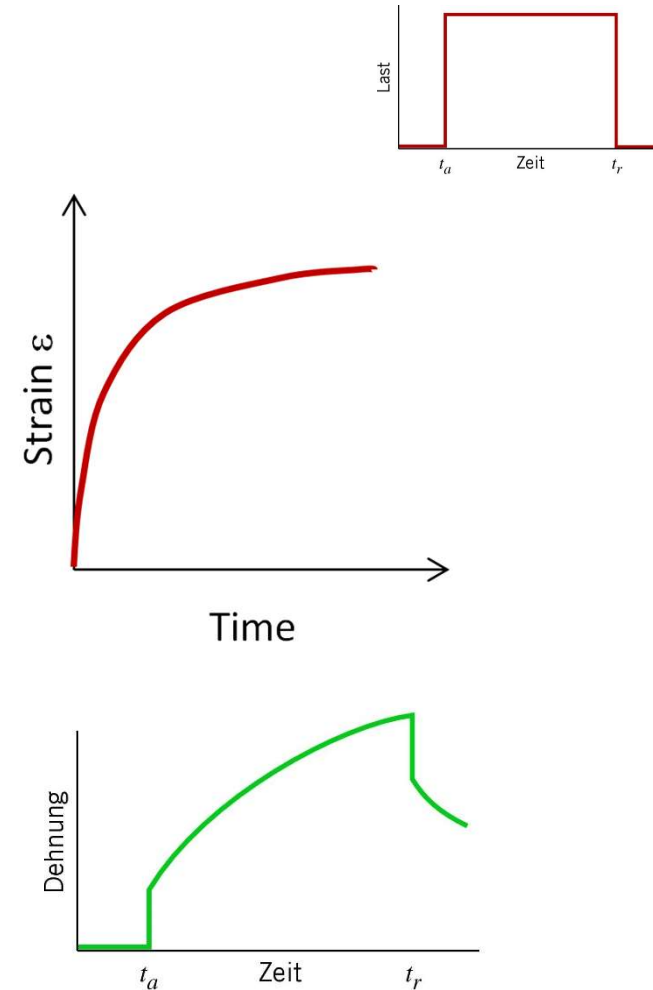
Beispiel: Dehnung $\varepsilon(t)$ nach Anlegen einer konstanten Spannung

Lösung der Differentialgleichung

$$\sigma = E\varepsilon + \eta \frac{d\varepsilon}{dt}$$

für den Fall $\frac{d\sigma}{dt} = 0$, d.h. konstante Spannung

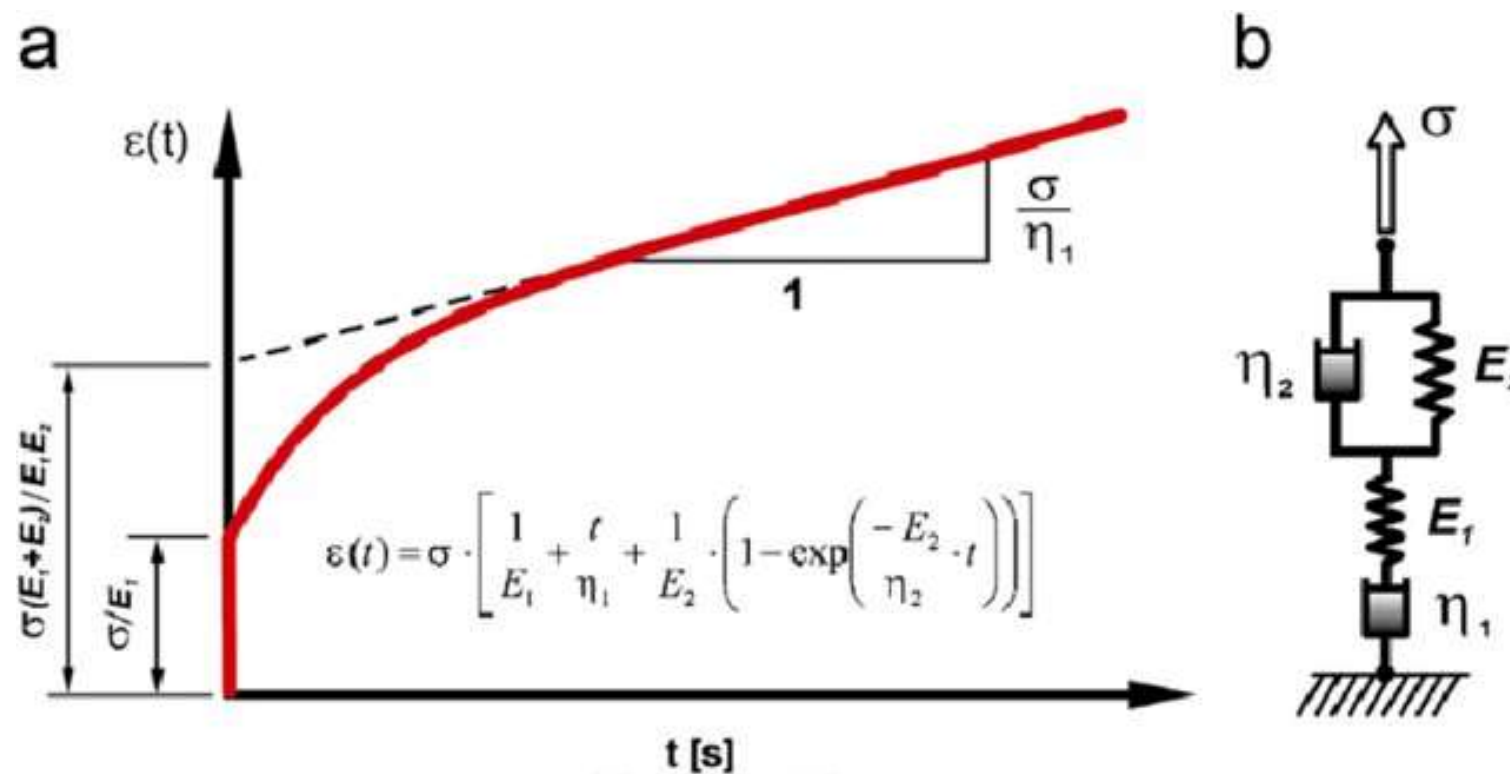
- exponentieller Anstieg, bei langen Zeiten Erreichen eines konstanten Werts
- Kurve nicht gut reproduziert: instantaner Anstieg fehlt



Burgers Modell

Maxwell Modell und Voigt-Kelvin Modell in Serienschaltung:

→ viskoelastisches Verhalten im Kriechexperiment

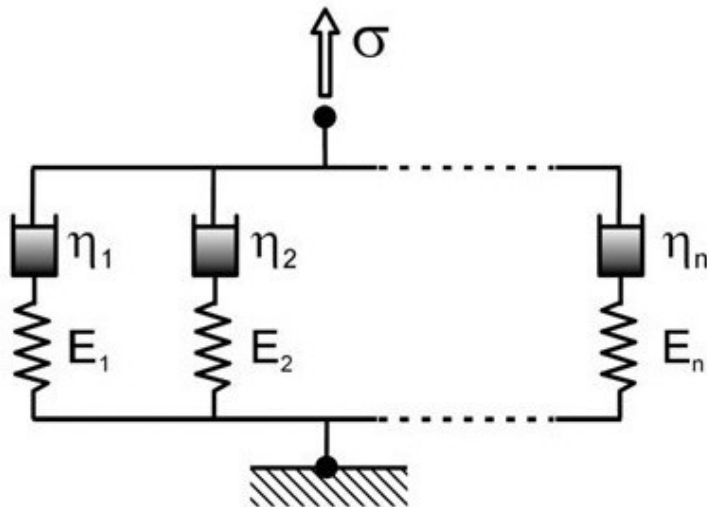


Komplexere Modelle

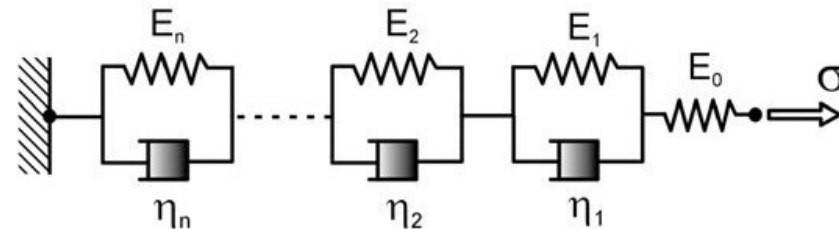
- realistischere Beschreibung durch **Kombination der Elemente**
- diese Modelle liefern allerdings **keine molekulare Erklärung**

Komplexere Modelle:

n parallel geschaltete Maxwell-Elemente



n Kelvin-Voigt-Elemente in Reihe mit einer Feder geschaltet



6.4 Periodische Experimente

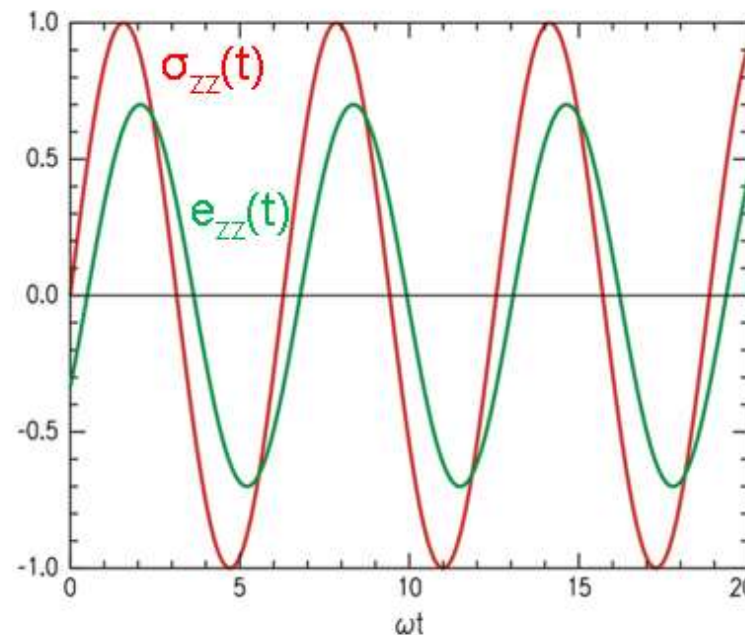
Dynamisch-Mechanische Analyse (DMA)

Prüfkörper einer sinusförmig wechselnden mechanischen Beanspruchung mit konstanter Frequenz und konstanter Amplitude ausgesetzt

Torsionspendel $\varepsilon(t) = \varepsilon_0 \cos(\omega t)$



Anton Paar



Elastischer Anteil $\sigma(t) = G \varepsilon(t) = G \varepsilon_0 \cos(\omega t)$

Viskoser Anteil $\sigma(t) = \eta d\varepsilon(t)/dt = -\eta \varepsilon_0 \sin(\omega t)$

Periodische Experimente

Viskoelastisch (Linearkombination)

$$\sigma(t) = \varepsilon_0 (G'(\omega) \cos(\omega t) - G''(\omega) \sin(\omega t)) = \sigma_0 \sin(\omega t + \delta)$$

mit Koeffizienten: $G'(\omega) = \omega \int_0^{\infty} G(t) \sin(\omega t) dt$

$$G''(\omega) = \omega \int_0^{\infty} G(t) \cos(\omega t) dt$$

Speichermodul $G'(\omega)$ liefert gespeicherte elastische Deformation

Verlustmodul $G''(\omega)$ liefert Energiedissipation

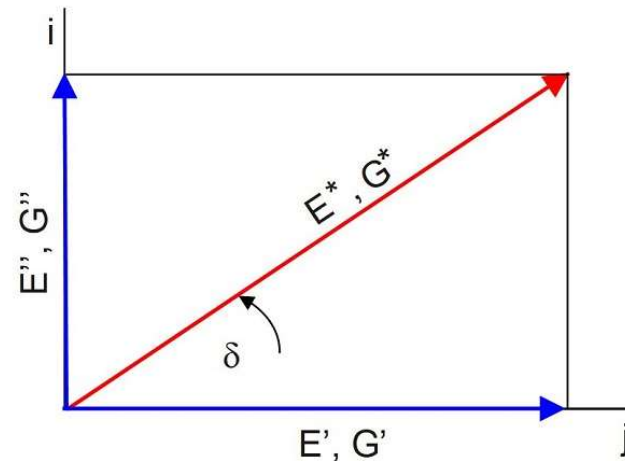
Analog zu elektrischem Widerstand:

$$G^* = G' + iG''$$

$$J^* = J' + iJ''$$

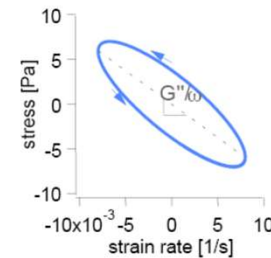
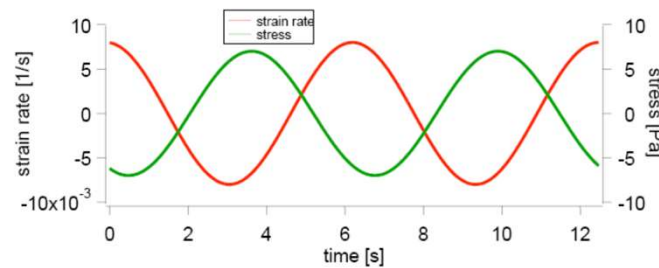
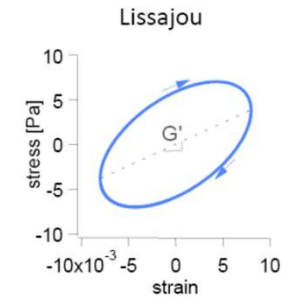
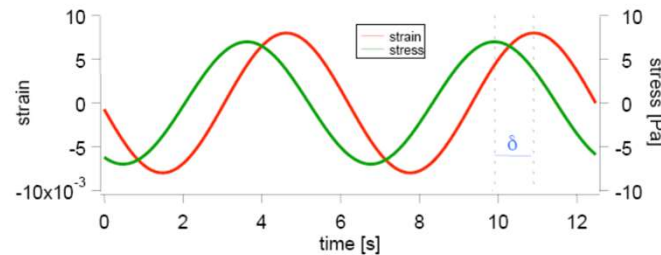
$$\eta^* = \eta' + i\eta''$$

$$G^* = J^{*-1}$$

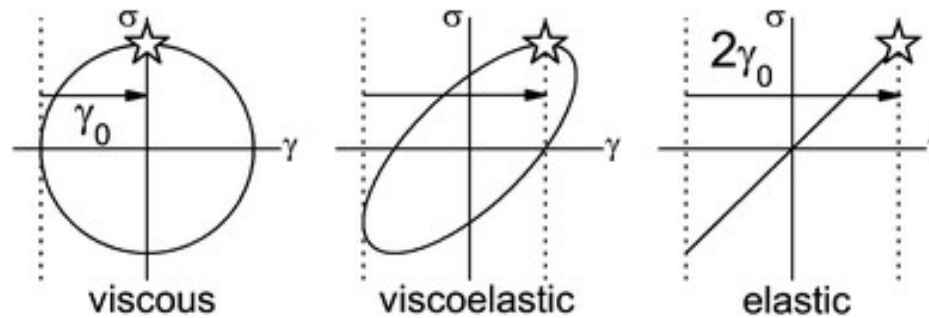


Periodische Experimente

Lissajou Plots



ideal linear
material response



Rogers et al. Soft Matter , 2012, **8**, 7831-7839

Periodische Experimente

Anwendung mechanischer Modelle liefert die viskoelastischen Funktionen:

Maxwell Modell

$$J(t) = J_0 + t/\eta_0$$

$$G(t) = G_0 \exp(-t/\tau)$$

$$G'(\omega) = G_0 \omega^2 \tau^2 / (1 + \omega^2 \tau^2)$$

$$G''(\omega) = G_0 \omega \tau / (1 + \omega^2 \tau^2)$$

$$\eta'(\omega) = \eta_0 / (1 + \omega^2 \tau^2)$$

$$J'(\omega) = J_0$$

$$J''(\omega) = J_0 / \omega \tau = 1 / \omega / \eta_0$$

$$\tan(\delta) = 1 / \omega \tau$$

Voigt-Kelvin Modell

$$J(t) = J_1 (1 - \exp(-t/\tau))$$

$$G(t) = G_0$$

$$G'(\omega) = G_0$$

$$G''(\omega) = G_0 \omega \tau = \omega \eta_0$$

$$\eta'(\omega) = \eta_0$$

$$J'(\omega) = J_0 / (1 + \omega^2 \tau^2)$$

$$J''(\omega) = J_0 \omega \tau / (1 + \omega^2 \tau^2)$$

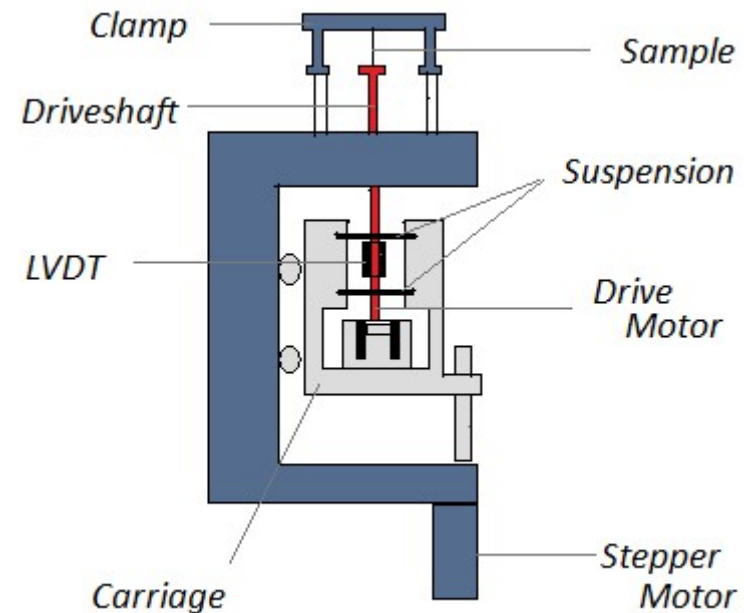
$$\tan(\delta) = \omega \tau$$

DMA

unterschiedliche Varianten, die sich hinsichtlich des realisierbaren Frequenzbereiches, der Art der mechanischen Beanspruchung und der ermittelten Werkstoffkenngröße unterscheiden:




- mit erzwungenen Schwingungen
- mit freien gedämpften Schwingungen
- mit Resonanzschwingungen

im Bereich sehr hoher Frequenzen:
Ausbreitung von Schall- und Ultraschallwellen oder dielektrische Spektroskopie



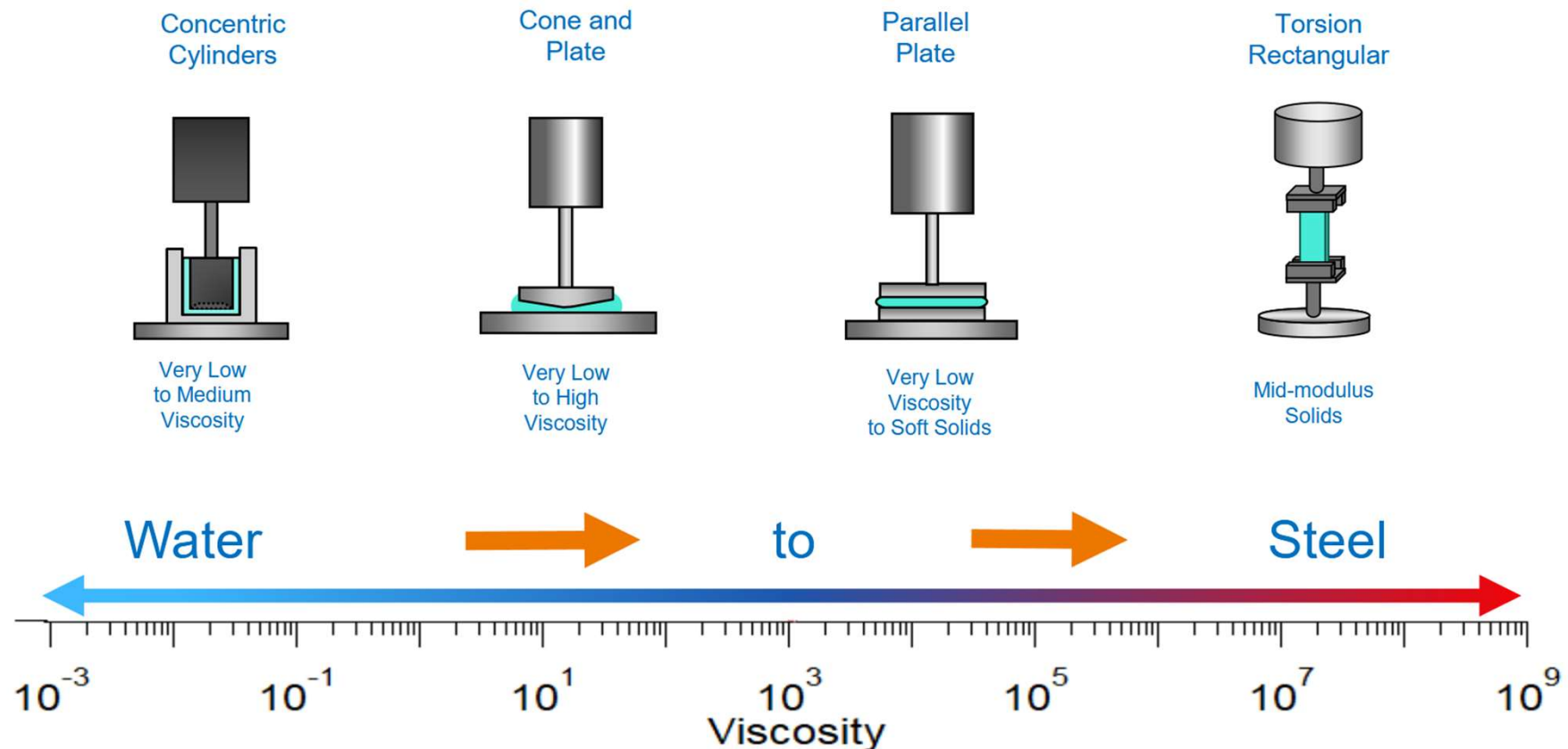
6.5 Rheometrie

Rheometrie misst das Ausmaß der Verformung eines Materials, wenn eine Kraft darauf einwirkt → sehr großer Bereich an Materialien

							
Paint, inks, beverages, oils, fuels, surfactants	Coatings, paints, paper coatings, resins, adhesives, polymer solutions, biopolymers, emulsions, suspensions, dispersions	Asphalt, lubricants, sealants, polymer pellets/powder/platelets, glass powder/platelets, metal	Printing inks, slurry, pastes, building materials, food, emulsions, plastisols, slips, ERFs, MRFs, sealing mass, suspensions, dispersions	Hydrogels, biopolymers	Asphalt, sealants, elastomers, gum, rubber, food	Powder paint, resin, two-component adhesives, UV-curing materials, duroplasts	Polymer films/rectangular rods, food (carrots, etc), coated films, duroplasts, thermoplasts, resins, asphalt, elastomers, gum
Low-viscosity liquids	Viscoelastic liquids	Melts	Paste-like materials	Gel-like materials	Soft solids	Reactive systems	Solids
<div> <div>almost 100 % liquid</div> <div>←</div> <div>→</div> <div>almost 100 % solid</div> </div>							
Rotation	Rotation	Rotation	Rotation				Extension
Oscillation	Oscillation	Oscillation	Oscillation	Oscillation	Oscillation	Oscillation	Torsion
DG, CC	CP & PP (50-25)	CP 25-3 & PP 25	CP & PP (25-50)	CP & PP (25-50)	PP 25	PP 15	SRF, UXF
CP & PP (60) Ti	DG or CC	CP 35-3 & PP 35	Special	DG, CC	PP 15		SER

Rheometer Geometrien

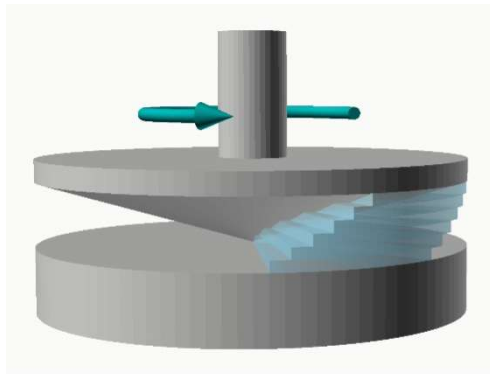
Material bestimmt Geometrie



Rheometer Geometrien

Kegel-Platte Geometrie

Die Kombination aus Kegel und Platte schert die Flüssigkeit gleichmäßig ab, so dass sich völlig horizontale Flüssigkeitsschichten ergeben.



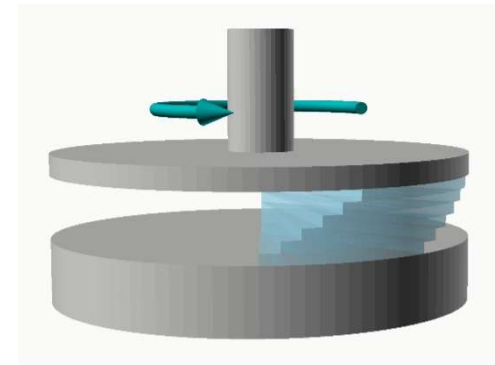
bewegter Teil

ruhender Teil

Es erfordert ein äußerst geringes Volumen der Probenflüssigkeit und misst mit einer sehr gut definierten Scherrate.

Platte-Platte Geometrie

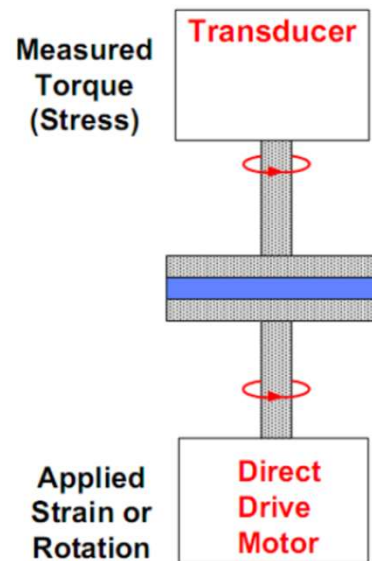
Die Flüssigkeit wird zwischen den beiden Platten kontrolliert abgeschert, jedoch nicht gleichmäßig wie bei der Kegel-Platten-Geometrie.



Im Vergleich zur Kegelplatte kann diese Geometrie mit partikelhaltigen Proben arbeiten.

Rheometer Mess-Typen

Dehnungskontrolle

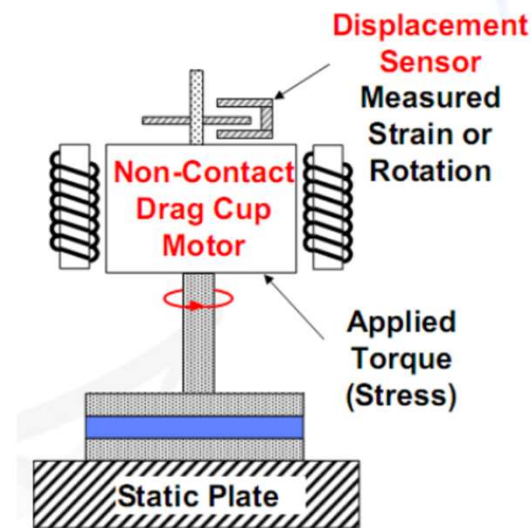


D. Vader,
H. Wyss,
Weitzlab group

ARES

- gelten in der Regel als besser definiert
- kann höhere Frequenzen sondieren

Spannungskontrolle



Bohlin, AR-G2, Anton Paar

- haben bessere Drehmomentempfindlichkeit

Heute sind die Rückkopplungsschleifen so schnell, dass die meisten Rheometer in beiden Modi arbeiten können.

Rheologische Messung

dynamisch-mechanische Messungen mit einer Frequenz enthalten im Vergleich zu Kriech- oder Spannungsrelaxationsexperimenten weniger Informationen

→ Variation von ω über einen ausreichend großen Bereich

→ Variation in der Temperatur

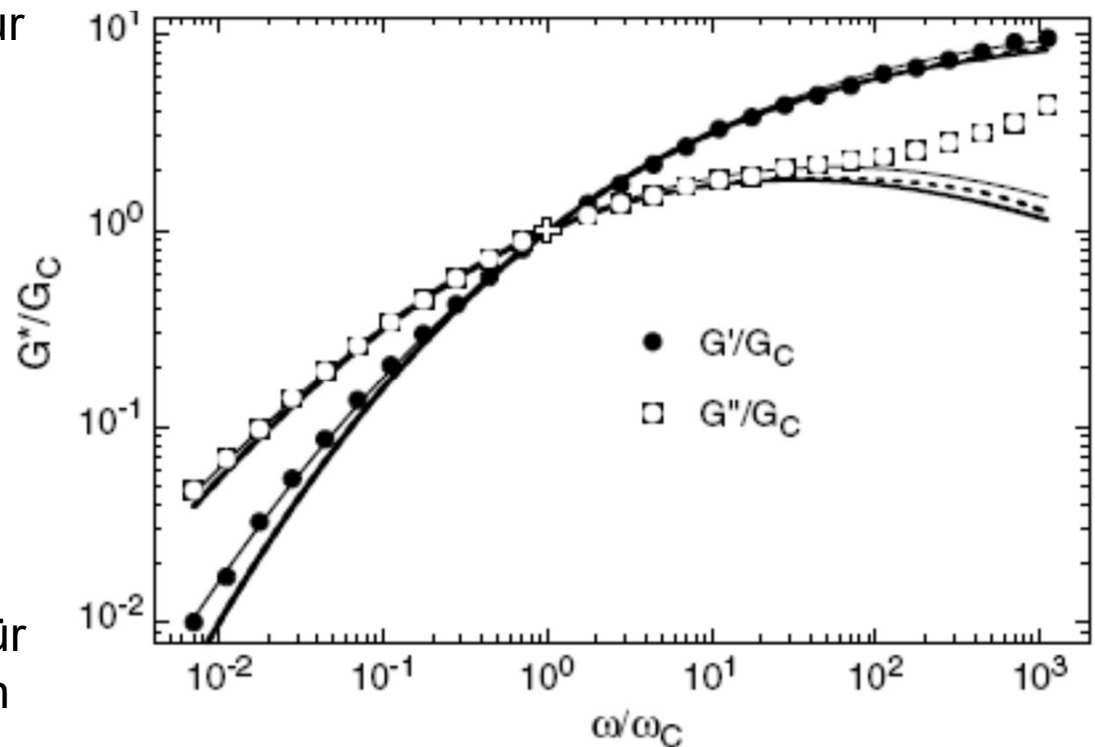
Beispiel: Polystyrol (PS)

nur einen Schnittpunkt bei

$$\omega_C = 9 \cdot 10^{-2} \text{ s}^{-1}$$

$$G_C = 23.2 \cdot 10^3 \text{ Pa}$$

Überschneidungsfrequenz
liefert eine gute Schätzung für
die längste Relaxationszeit in
rad/s



Zeit-Temperatur Superpositionsprinzip

Problem: experimentell nur 3 Dekaden zugänglich, aber zur Charakterisierung Messung über 10 Dekaden notwendig

Lösung: wenn alle Relaxationsprozesse dieselbe T-Abhängigkeit besitzen dann Äquivalenz von Temperatur und Zeit bei mechanischen Eigenschaften

$$E_i(t, T_i) = E(t/a_t, T_{ref}) \quad \text{und} \quad \eta_i(t, T_i) = \eta(t/a_t, T_{ref})$$

mit zeitunabhängiger, temperaturabhängiger Normierungsgröße a_t

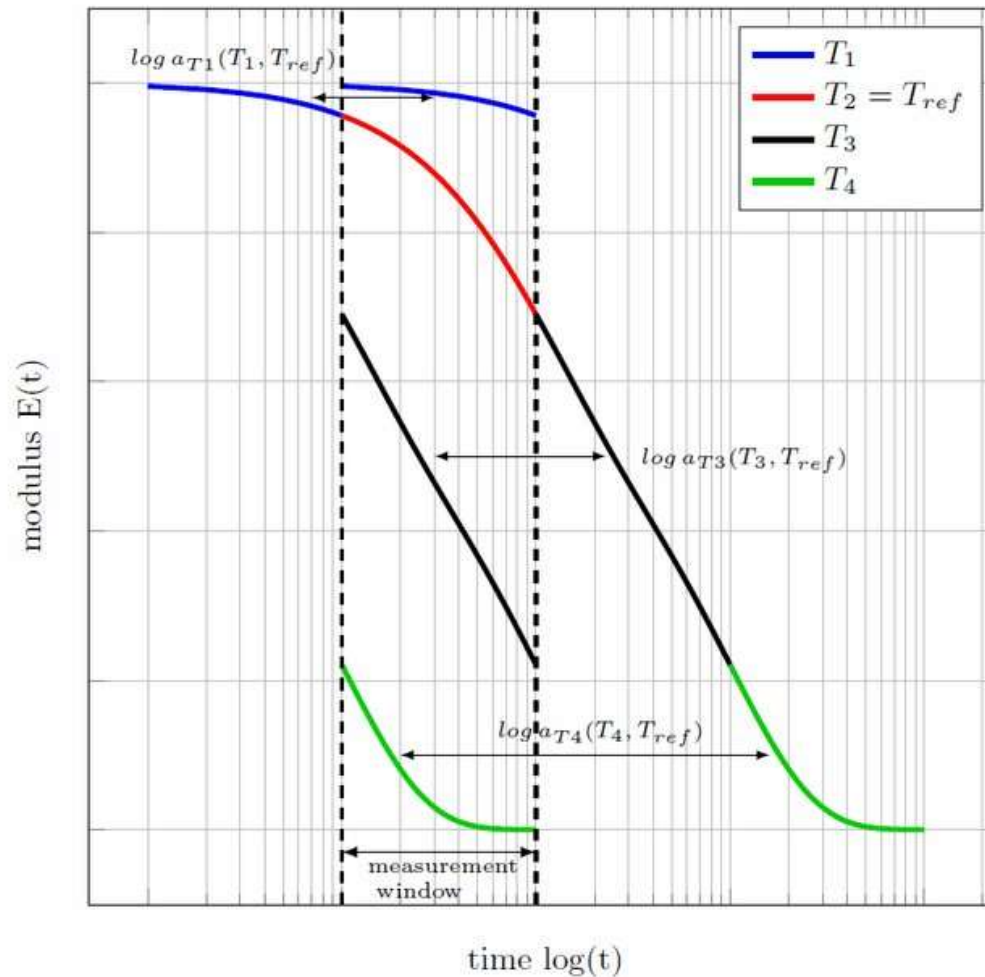
Williams-Landel-Ferry (WLF) Gleichung

$$a_t = \exp\left(-\frac{c_1(T - T_{ref})}{T - T_{ref} + c_2}\right)$$

mit den Materialkonstanten c_1 und c_2

Beschreibung bis $T_g + 70K$ dann
Arrheniusverhalten (Aktivierungsenergie)

Masterkurvenkonstruktion



Anwendung von Zeit–Temperatur
Superposition (engl. TTS) Prinzip

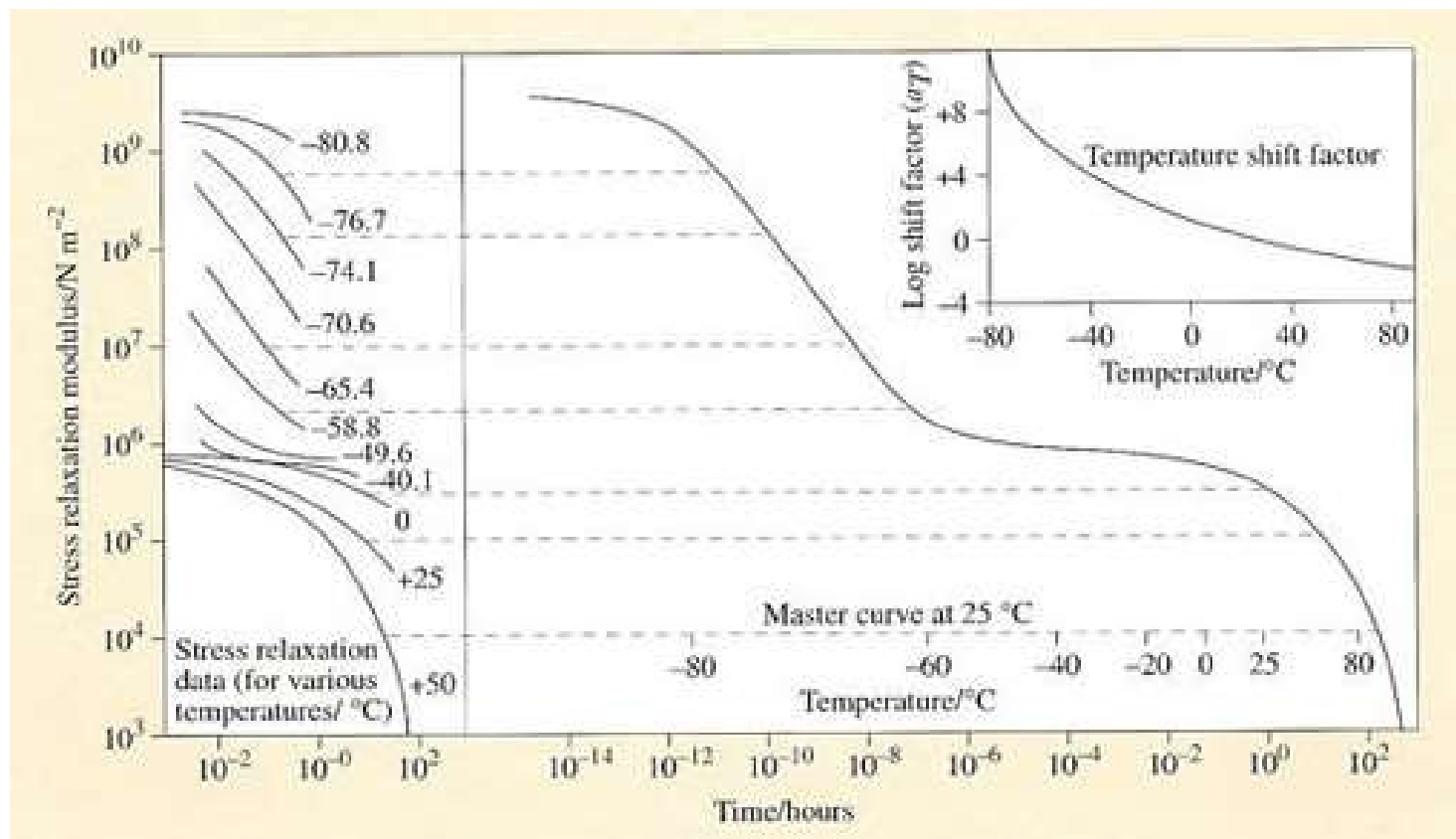
Experiment bei verschiedenen
Temperaturen $T_1 < T_2 < T_3 < T_4$

Zeitfenster verschieben auf
Referenztemperatur T_{ref}

Unter Verwendung der WLF-
Faktoren a_t

Masterkurvenkonstruktion

Beispiel: Polyisobutylen (PIB)



VFT: Vogel-Fulcher-Tamman

$T_{\text{ref}} \cong T_{\text{VFT}}$ VFT Vogel-Fulcher-Tamman

sehr ähnlich zu Vogel-Fulcher-Tamman (VFT)-Gesetz:

$$\log(\eta) = \log(\eta_{\text{ref}}) + \log(a_t)$$

$$\log(\eta) = \log(\eta_{\text{ref}}) - \frac{c_1 \left(T - (T_{\text{ref}} - c_2) \right) + c_1 c_2}{\left(T - (T_{\text{ref}} - c_2) \right)}$$

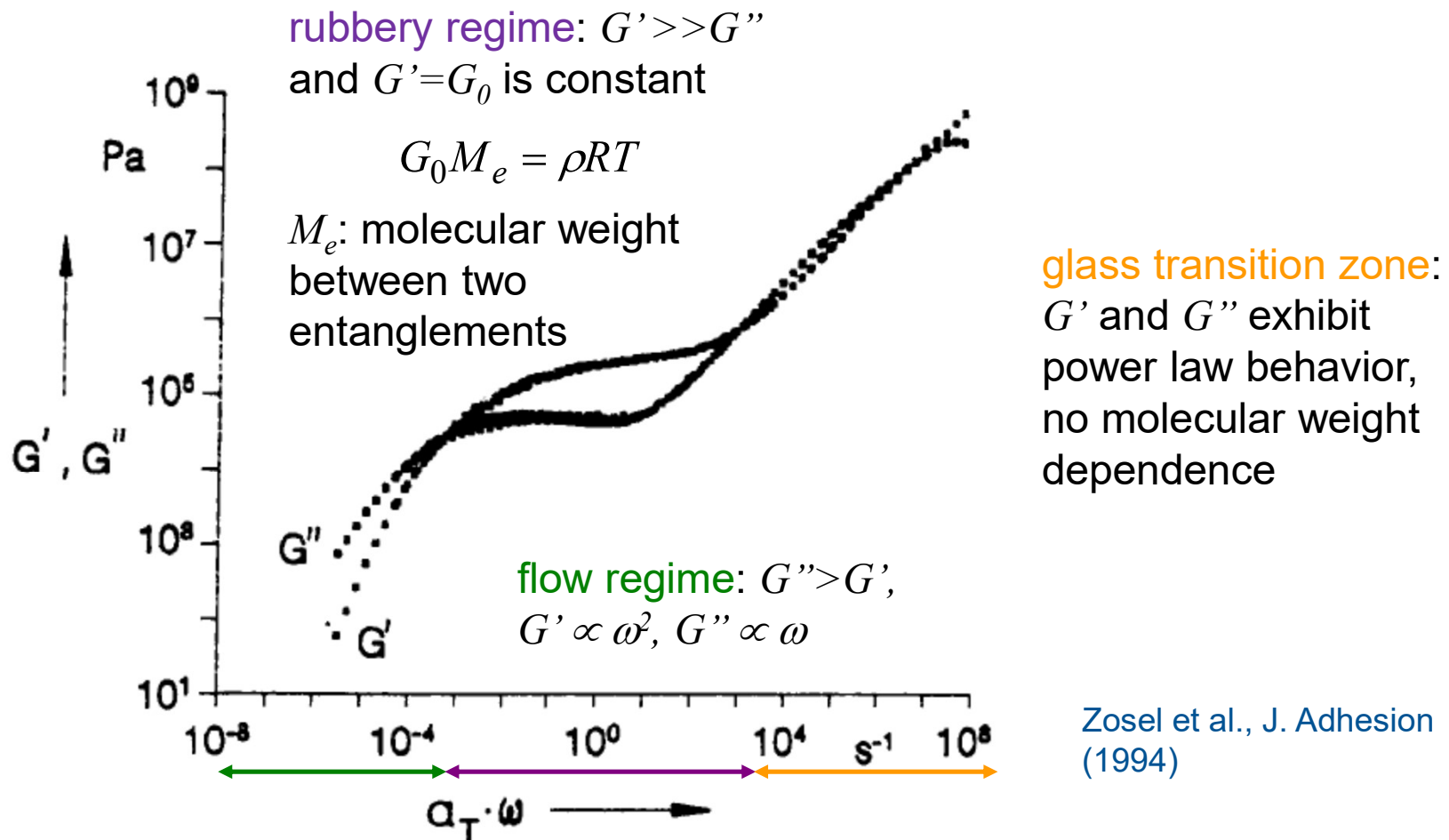
$$\log(\eta) = \log(\eta_{\text{ref}}) - c_1 + \frac{c_1 c_2}{\left(T - (T_{\text{ref}} - c_2) \right)}$$

mit $T_{\text{VFT}} = T_{\text{ref}} - c_2$ folgt

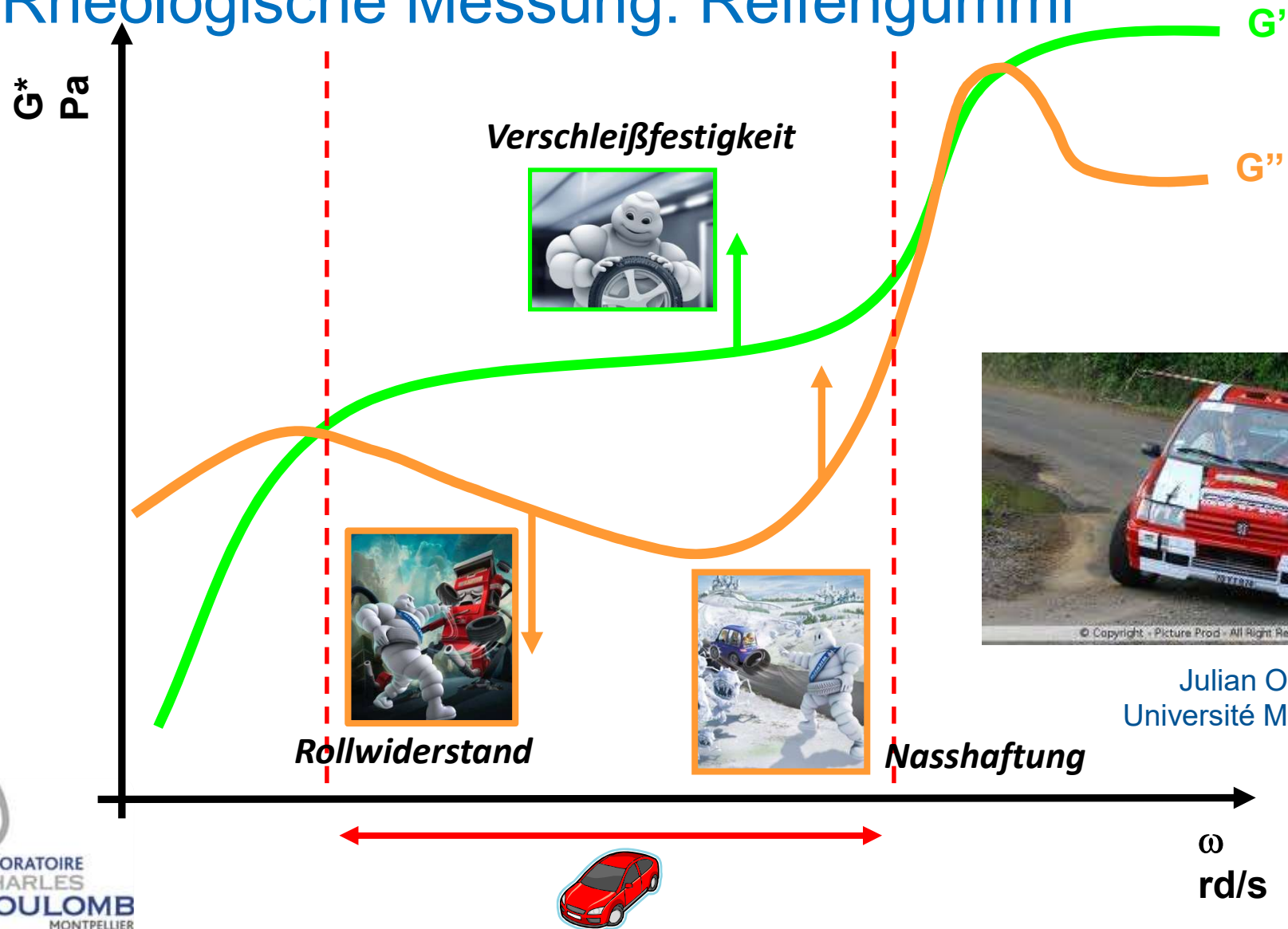
$$\eta = \eta_0 \exp \left(- \frac{A}{T - T_{\text{VFT}}} \right)$$

Rheologische Messung: Klebstoffe

Beispiel: frequenzabhängiger Schermodul PIB (Haftklebstoff)



Rheologische Messung: Reifengummi



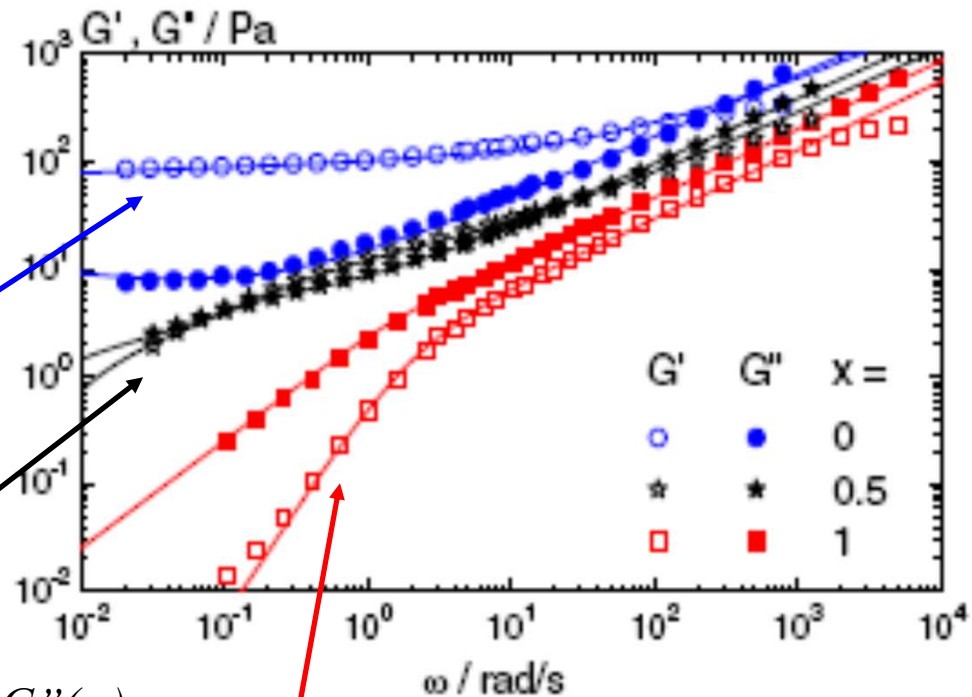
Julian Oberdisse,
Université Montpellier

Rheologische Messung: Gele

Beispiel: Gele

x = Sterocoll D[©] Konzentration
(Acryl Verdicker)

hoch-elastische Probe



kritische Gel Konzentration: $G'(\omega) = G''(\omega)$
(Rheologie Definition)

Potenzgesetzverhalten $G', G'' \propto \omega^\alpha$, hier: $\alpha = 0.4$

Kheirandish et al., Rheol. Acta (2008)

Gel-artige Probe, kein Schnittpunkt, $G'' < G'$

6.4 Zusammenfassung

viskoelastisches Verhalten: stark temperaturabhängiger Relaxationsmodul:

glasförmig bei niedrigen T , gummiartig bei mittleren T , flüssig bei hohen T

Experimente zur Charakterisierung:

Kriechexperiment, Relaxationsexperiment

Gründe für viskoelastisches Verhalten:

(i) zahlreiche Relaxationsprozesse in breitem Zeitbereich

(ii) thermische Bewegung

Modellierung durch Kombinationen aus Federn und Dämpfern

Bestimmung des Elastizitätsmoduls durch Relaxationsexperimente
bei verschiedenen Dehnungen

Dynamisch-Mechanische Analyse (DMA)

Zeit-Temperatur Superposition - Masterkurvenkonstruktion